

ایجاد پالس بلند در لیزر مولکولی ازت با تخلیه طولی

اکبر حربیری، س. ع. گلپایگانی و م. ترکاشوند

مرکز تحقیقات هسته‌ای
سازمان انرژی اتمی ایران

چکیده

در این مقاله تحریک الکتریکی به طریق طولی در مولکول ازت که منجر به عمل لیزر با زمان پالس حدود ۲۰ نانو ثانیه و واگرای ۱/۷ میلی رادیان است تشریح می‌گردد. تیوب لیزر از لوله‌ای شیشه‌ای بطول ۳۳ سانتیمتر و بقطر ۳/۵ میلیمتر تشکیل شده است که دو انتهای آن با زاویه بروستر بریده شده و با پنجه‌های سیلیکا مذاب مسدود گردیده است. کاواک لیزری مشکل از دو آینه بازتاب دهنده است که تقریباً ۴۰ سانتیمتر از یکدیگر فاصله دارند. چون نقش مد در این لیزر به صورت TEM₀₀ است این ابزار وسیله مناسبی برای اجرای طرح‌های مربوط به مسائل اپتیکی در طول موج ۳۳۷/۱ nm خواهد بود.

وسيعی بافته است مورد توجه خاص می‌باشد و اصروز از انواع مختلف تحریک عرضی آن حتی بصورت تجاری نیز در ایجاد نوسان در لیزرهای رزینهای استفاده می‌شود. طول عمر تراز بالائی حدود ۴۰ ns است که در مقابل آن تراز زیرین لیزر طول عمر حدود ۱۱۵-۱۵ دارد (۴). انگیش لیزر به صورت تیپی و با زمان تحریک بسیار (کوتاه کمتر از ۴۰ ns) می‌باید صورت گیرد. طول عمر کلی تراز بالائی از

$$\tau \text{ (ns)} = \frac{36}{1 + p \text{ (torr)} / 58} \quad (1)$$

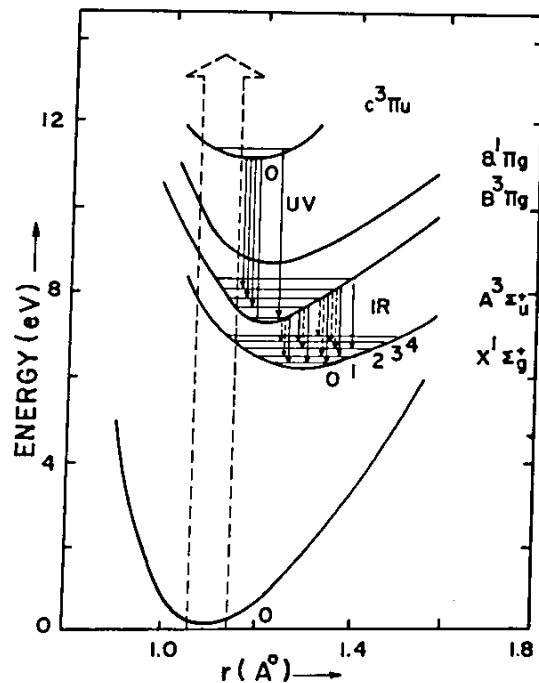
بدست می‌آید (۵). از نظر تجربی معمولاً "نسبت E/P" که میدان الکتریکی و P فشار کاری لیزر است، ۲۰۰-۸۰ V/cm-torr است. چنانچه لیزر در فشار اتمسفر فعالیت کند ns ≈ 2.5 است و لذا تحریک عرضی با پیش‌یونش مناسب که بتواند

مقدمه

اولین گزارش در مورد لیزر مولکولی ازت در ناحیه فروسرخ در سال ۱۹۶۳ توسط ماتیاس و پارکر ارائه گردید (۱). در ناحیه فرابینفش نخستین گزارش توسط هرد ارائه شد (۲). در هر دو گزارش تحریک گاز ازت به صورت طولی بود. متعاقب آن به علت نیاز به قدرت‌های بالاتر تحریک عرضی توسط لئونارد گزارش شد (۳).

لیزر مولکولی ازت در گذار $B^3\Pi_u \rightarrow C^3\Pi_g$ مربوط به سیستم مثبت دوم Second Positive System است که شامل گذار از حالت‌های ارتعاشی ("v₇" - ۷) نظیر (۰-۰)، (۱-۰)، (۰-۱) و ... می‌باشد (شکل ۱). قویترین گذار مربوط به نوار (۰-۰) در طول موج ۳۳۷/۱ nm مترا در ناحیه فرابینفش است. این لیزر چون در دمچ مولکولهای آلی لیزرهای رزینهای کاربرد

اکبر حربی و همکاران. ایجاد پالس بلند در لیزر مولکولی ازت با تخلیه طولی



شکل ۱- ترازهای انرژی مولکول ازت

چه زمان تخلیه را می‌توان به طور تقریبی از $t = \sqrt{L/C}$ محاسبه کرد (۲). در لیزرهای فشار اتمسفری و بالاتر از آن معمولاً "زمان تپ لیزر حدود ۱-۲ ns است و به علت محدودیت در انتخاب ظرفیت مدار بلومنین حجم لیزر کوچک انتخاب می‌شود. در فشارهای کمتر بین ۲۰۰-۸۰ تور، اجرای عمل لیزر بدون پیش‌بیونش عملی است و باز هم می‌توان از مدار بلومنین و تخلیه خازنی (capacitor discharge) بپرسید. زمان تپ لیزر معمولاً ۵-۱۰ نانو ثانیه است. در این نوع لیزر (لیزرهای TE) نظر به اینکه ظرفیت خازن را می‌توان زیادتر انتخاب کرد، لیزر حجم بزرگتری داشته و خروجی مفید شدیدی را می‌توان از آن انتظار داشت. ترکیب لیزرهای TE و TEA که به عنوان نویان-

زمان انگیزشی برابر و یا کمتر از ۲.۵ ns داشته باشد انتخاب می‌کنند.

مدار تحریک الکتریکی بلومنین (Blumlein) ذکر شده در منبع (۶) برای این منظور بسیار مناسب است (لیزرهای TEA). وجود سیستم پیش‌بیونش به آن منظور است که بتوان نسبت E/P (که دمای الکترونی Te را تعیین می‌کند) را در حد مطلوب کاری لیزر نگاه داشت بدون آنکه مجبور به افزایش بی حد میدان الکتریکی و یا ولتاژ گردیدم. افزایش فشار به بالاتر از اتمسفر موجب کوتاه‌تر شدن تپ لیزری می‌گردد. بنابراین، روش مناسب برای کوتاه کردن تپ لیزری افزایش فشار گاز کاری آن است و برای تحقق این امر انتخاب ظرفیت C و اندوکتانس L بسیار کم برای سیستم تخلیه الکتریکی الزامی است،

هلیوم نتون می باشد.

روش آزمایش

طرح کلی لیزر ازت با تحریک طولی در شکل ۲ آورده شده است. اولین تیوب پلاسما از جنس پیرکس بقطر داخلی $ID = ۳/۵\text{ mm}$ و قطر خارجی $OD = ۹/۳\text{ mm}$ ساخته شده است. قطر لوله در دو انتهای به $OD = ۱۴/۰\text{ mm}$ افزایش داده شده است. اتصال الکترودهای تنگستن توسط روش اتصال شیشه به فلز صورت گرفته است. دو انتهای لوله تحت زاویه بروستر بریده شده (زاویه برش با محور fused $= ۴۴^\circ$) و از پنجه سیلیکای مذاب شده silica برای مسدود کردن تیوب پلاسما استفاده شده است. طول کلی تیوب لیزر $l = ۳۳\text{ cm}$ و فاصله دو الکترود 26 cm انتخاب گردید. چون لیزر به صورت جریان گاز عمل می کند در دو انتهای آن نیز مجاری ورود و خروج گاز تعییه شده است. برای تحریک گاز از سیستم تخلیهای که قابلیت تحمل ولتاژ بالا تا 60 kV را دارا باشد استفاده گردید. بهترین روش بدین منظور استفاده از سیم کواکسیل خط انتقال است که در ولتاژهای مورد نظر اثر کورنای بسیار ناچیز داشته باشد. بدین منظور از سیم کواکسیل $RG 21/3$ استفاده گردید. رشتدهای موازی از خط انتقال ظرفیت خازنی $(C = 1\text{ nF})$ تشکیل داده است که توسط یک اسپارک گب به تیوب پلاسما اتصال داده شده‌اند. مقاومت بالائی شده (balanced resistor) $R = 260\text{ M}\Omega$ انتخاب گردید. اسپارک گب در این سیستم به صورت خود شکست (self breakdown) عمل می کند. برای تخلیه گاز از یک پمپ خلا، استفاده گردید. گاز ازت با درجه خلوص $99/99\%$ مستقیماً وارد

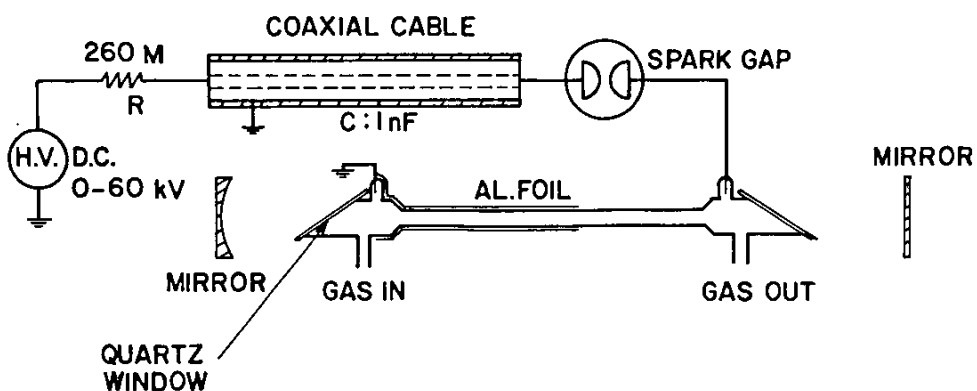
کننده و تقویت کنند. عمل می کند مناسب‌ترین ابزار برای حصول زمان تپ کوتاه با قدرت بالاست. چنانچه اشاره شد زمان تپ لیزرهای TEA و یا TEA در حد چند نانو ثانیه است و خروجی لیزر بعلت بیوه بالا احتیاجی به آینه نداشته و در بعضی مواقع تپها از یک آینه انتهایی استفاده می کنند. کوتاهی تپ ملزم می دارد که فوتون های الفایی یک و یا دو رفت و بازگشت در کاواک لیزری انجام دهند و لذا لیزر دارای واگرایی زیاد خواهد بود. بعلاوه مدد لیزر بصورت گوسی نیست و تقریباً "آرایش مربوط به تخلیه الکتریکی را دارا می باشد.

برای آنکه بتوان مد خروجی مناسبی را در لیزر - های مولکولی ازت به دست آورد می باید بتوان تعداد رفت و بازگشت های زیادی را در کاواک لیزر حاصل کرد. این امر مستلزم آن است که زمان تپ نا آنچه که ممکن است طولانی شود. چنانچه فشار گاز ازت کم شود پهنهای پالس طبق رابطه (۱) زیاد خواهد شد.

بهترین راه برای اجرای این منظور استفاده از تحریک طولی است. چون فاصله الکترودها را در این تحریک به چند ده سانتیمتر و کاه نا ۱ متر می توان افزایش داد. برای ثابت نگاه داشتن E/P لازم است فشار گاز را به حد چند تور نقصان داده و ولتاژ کاری را نیز افزایش داد.

در این مقاله طراحی و ساخت و راه اندازی لیزر مولکولی ازت با تحریک طولی ارائه خواهد شد. در این لیزر که برای نخستین بار در ایران راه اندازی شده است لیزر پالسی با 20 FWHM نانو ثانیه ایجاد شده است که مربوط به زمان حدود $10\text{ }\mu\text{s}$ رفت و بازگشت نور در کاواک لیزر است. ساختار TEM_{00} در این لیزر کاملاً "به صورت گوسی بوده و دارای واگرایی $1/2\text{ mrad}$ است که قابل مقایسه با واگرایی لیزر

اکبر حریری و همکاران . ایجاد پالس بلند در لیزر مولکولی ازت با تخلیه طولی



شکل ۲- طرح کلی لیزر مولکولی ازت با تحریک طولی

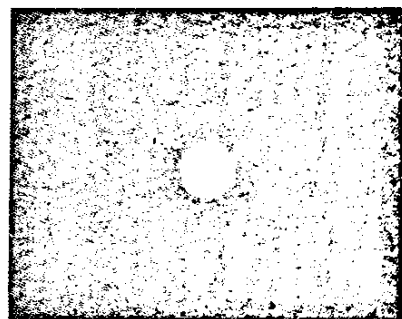
آینه مقعر و یک آینه تخت) از وضعیت مناسبتر ساختار مد TEM_{00} برخوردار است . نمونهای از نقش مد خروجی لیزر که در فاصله $2/6$ متر از آینه خروجی عکس برداری شده است در شکل ۳ نشان داده شده است . برای تهیه این عکس از دوربین اسیلوسکوپ به عنوان دوربین عکاسی استفاده شد و یک کاغذ سفید در مقابل دهانه آن چسبانده و از فلئورسانس ایجاد شده برای یک ضربه لیزری عکس برداری شد .

نتایج آزمایش

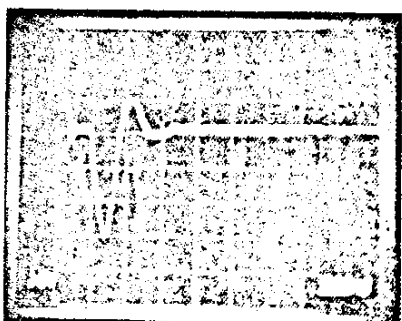
رفتار زمانی تپ الکتریکی در شکل ۴ نشان داده شده است . بدین منظور از یک بوسیله روجوسکی (Rogowski coil) استفاده شد . نمونه رفتار زمانی تپ لیزری در شکل ۵ آورده شده است . در این اندازهگیری از یک فوتودایود خلا، نوع ITL مدل

وروودی تیوب پلاسمای شده و از خروجی تیوب پمپ می‌گردد . دو فشارسنج $100 - 1000$ میلی بار همزمان فشار داخلی تیوب لیزر را اندازهگیری می‌کنند برای اندازهگیری فشار پائینتر، از یک فشارسنج $100 - 0$ تور از نوع MKS Baratron Type 220 استفاده شد .

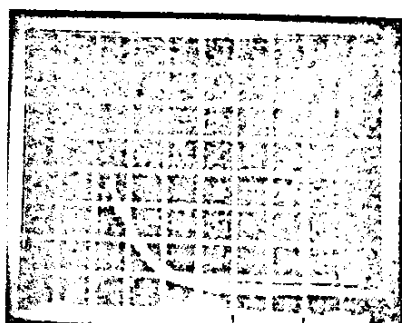
برای کاوک لیزری ابتدا از آینه تخت تمام باز نابان با پوشش آلومینیوم که به عنوان آینه انتهائی عمل می‌کند و نیز یک قطعه کوارتز تخت به عنوان آینه خروجی استفاده گردید . در آرایش دیگری از یک آینه با شعاع انحنای $R = 70 \text{ cm}$ با پوشش دی-الکتریک به عنوان آینه انتهائی و یک آینه تخت با پوشش دی-الکتریکی به عنوان خروجی استفاده گردید . فاصله دو آینه تقریباً 40 سانتیمتر است . مقایسه خروجی لیزر نشان داد که آرایش دوم (یک



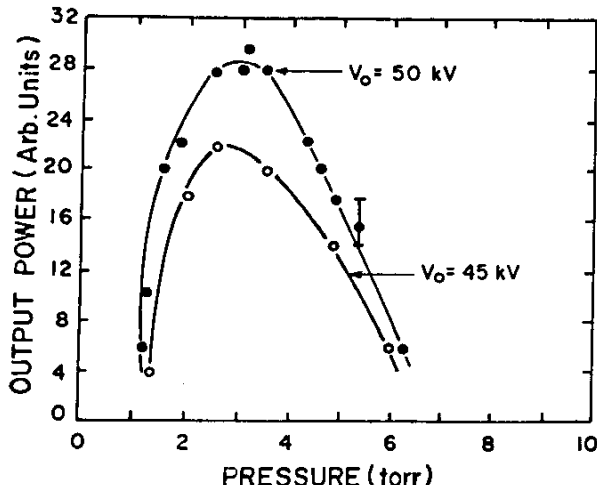
شکل ۳- نمونه‌ای از نقش مد TEM_{00} خروجی لیزر در فاصله ۲/۶ متر از آینه خروجی.



شکل ۴- نمونه‌ای از رفتار زمانی تخلیه الکتریکی در تخلیه طولی.



شکل ۵- نمونه‌ای از رفتار زمانی شب خروجی لیزر (مقیاس زمانی ۵۰ ns/div).



شکل ۶- نتایج اندازه‌گیری قدرت خروجی لیزر بر حسب فشار گاز ازت

کاری ۵۰ و ۴۵ کیلوولت نشان می‌دهند. این دو منحنی دارای قله بیشینه در ۳ تور می‌باشد. قدرت ماکریعم خروجی لیزر (در واحد اختیاری) بر حسب ولتاژ ورودی برای دو فشار ۲/۱ و ۵/۵ تور نیز اندازه‌گیری شد. نتایج اندازه‌گیری در شکل ۷ نشان داده شده است.

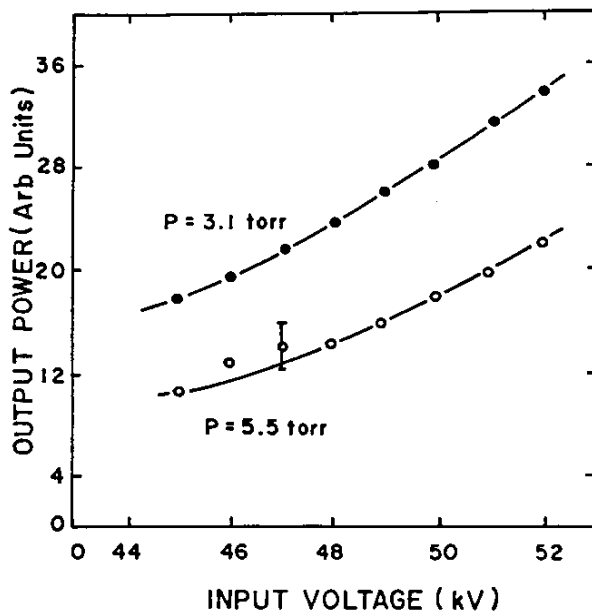
نتیجه‌گیری

در این مقاله نشان داده شده است که مولکول ازت با تحریک طولی قادر به نوسان لیزری است و وجود کاواک در ایجاد خروجی لیزر موثر بوده و قادر است که ساختار مد عرضی TEM_{00} را به نمایش بگذارد. با وجودی که به علت فشار کم و حجم کوچک محیط فعال انرژی زیادی را در مقابله با لیزرهای TEA و TE نمی‌توان از این لیزر انتظار داشت ولی این لیزر دارای محاسن زیر است:

- ۱- ساختار خوب مد و واگرایی کم
- ۲- حجم کوچک سیستم و در نتیجه قابلیت در حمل و نقل
- ۳- برخلاف مدارهای بلوملین که دارای نویز شدید

۱۸۵۰ با زمان صعود ۱۰۰ ns استفاده شد. در سرتاسر آزمایش‌های زمانی از اسیلوسکوپ نکترونیکس مدل ۷۹۰۴ همراه با تقویت‌کننده مدل ۷A26 و ۷A19 استفاده گردید. به طوری که شکل نشان می‌دهد نیم پهنه‌ی زمانی (FWHM) خروجی لیزر حدود ۲۰ ns است و پالس لیزری با سرعت زیادی شروع شده و به صورت نمائی خاتمه می‌یابد. تمام طول زمانی پالس به حدود ۱۰۰ ns می‌رسد. بدین ترتیب اثر نقصان فشار گاز ازت در پهن شدن زمان پالس به خوبی نشان داده می‌شود.

اندازه‌گیری قدرت ماکریعم خروجی لیزر (در واحد اختیاری) بر حسب تغییرات فشار گاز برای ولتاژهای مختلف نیز اندازه گرفته شد. در این اندازه‌گیری از یک آشکارساز سیلیکن فوتودایود استفاده گردید. برای آنکه آشکارساز به حالت اشباع نرسد از فیلترهای ND نیز استفاده کرده و آنرا مقابل دهانه آشکارساز تعییه نمودیم. برای کاهش در سیگنال زمینه، آشکارساز را در محفظه‌ای در تاریکی قرار دادیم. شکل ۶ نتایج اندازه‌گیری را برای دو ولتاژ



شکل ۷- نتایج اندازه‌گیری قدرت خروجی لیزر بر حسب ولتاژ ورودی

تیوب با طول محدود به چند ده سانتیمتر و قطر چند میلیمتر، افزایش انرژی را در این سیستم محدود می‌سازد، البته این محدودیت بسا افزایش ولتاژ کاری لیزر تا چند صد کیلوولت به طوری که شکل ۷ نشان می‌دهد مرتفع خواهد شد ولی کار با ولتاژ بسیار بالا مخصوص احتیاط‌هایی در زمینه عایق سازی آزمایشگاهی خواهد بود. بنابراین کار با ولتاژ بسیار بالا را می‌توان از معایب این نوع لیزر دانست.

قدردانی
از واحد شیشه‌گری گروه فیزیک لیزر بخصوص آقای بهرام باقری برای ساخت تیوبهای لیزر قدردانی می‌شود.

(RF) است، سیستم تحریک کواکسیال در این سیستم دارای نویز بسیار پائین است و این ابزار برای کاربردهای اسپکتروسکوپی در جایی که اندازه‌گیری‌های زمانی مورد نیاز باشد بسیار مناسب است.

۴- برخلاف لیزرهای تحریک عرضی TEA و که نمی‌توان آنها را به صورت محفظه بسته (sealed) طراحی کرد و در آنها جریان گاز و سیستم خلاه می‌باید برقرار باشد، سیستم‌های تحریک طولی قابلیت راه‌اندازی به طریق محفظه بسته را دارا می‌باشد به شرط آنکه در نظافت سیستم و خروج ناخالصی‌ها قبل از بستن محفظه لیزر با دقت بسیار زیاد اقدام شود. حجم کوچک محیط فعال لیزر بخصوص انتخاب

اکبر حریری و همکاران . ایجاد پالس بلند در لیزر مولکولی ازت با تخلیه طولی

References

1. L.E.S. Mathias and J.T. Parker, Stimulated Emission in the Band Spectrum of Nitrogen, *Appl. Phys. Lett.* 3, 16 (1963).
2. H.G. Heard, Ultraviolet Gas Laser at Room Temperature, *Nature* 4907, 667 (1963).
3. D.A. Leonard, Saturation of The Molecular Nitrogen Second Positive Laser Transition, *Appl Phys. Lett.* 7,4 (1965).
4. B. Godard, A Simple High-Power Large-Efficiency N_2 Ultraviolet Laser, *IEEE J. Quant. Electron.*, QE-10, 147 (1974).
5. B.S. Patel, Compact High-Power TEA N_2 Laser, *Rev. Sci. Instrum.* 49, 1361 (1978).
6. A. Hariri, M. Tarkash Vand and A. Karami, Uniform Glow Discharges for Nanosecond Excitation of TEA and TE Nitrogen Lasers, Proceedings of the National Conference on Lasers and Their Applications, P. 84-101, Tehran (1987).
7. C.P. Wang, Simple Fast Discharge Device for High-Power Pulsed Lasers, *Rev. Sci. Instrum.* 47, 92 (1976).

AEOI Scientific Bulletin
No.9, pp. 33-41, (1989)
Printed in Iran

LONG PULSE OPERATION OF A LONGITUDINAL
DISCHARGE-PUMPED N₂ LASER

A. Hariri, S.E. Golpayegani and M. Tarkashvand

Nuclear Research Center
Atomic Energy Organization of Iran
P.O. Box 14155-4494, Tehran
Islamic Republic of Iran

Abstract

This paper describes a longitudinal discharge pumped N₂ laser capable of producing output pulses with FWHM of 20 ns duration and 1.7 mrad beam divergence. The laser channel is made up of a glass tube of 33 cm in length and 3.5 mm inner diameter ended to the Brewster angle and sealed with fused silica windows.

The resonant cavity was formed by two reflecting mirrors placed 40 cm apart. Since the mode pattern of the laser oscillation is TEM₀₀, this system is capable of being used as an optical instrument at 337.1 nm wavelength.